

การเลือกทำปฏิกริยาเพื่อแยกสารเรซิมิกเมนทอลโดยไอลเปส
ในระบบของตัวทำละลายน้ำ/ตัวทำละลายอินทรีร์

นาย ยานนพพัฒน์ กับปพงศ์



วิทยานิพนธ์นี้เป็นส่วนหนึ่งของการศึกษาตามหลักสูตรปริญญาวิชวกรรมศาสตรมหาบัณฑิต
สาขาวิชาชีววิชวกรรมเคมี ภาควิชาชีววิชวกรรมเคมี
บัณฑิตวิทยาลัย จุฬาลงกรณ์มหาวิทยาลัย

ปีการศึกษา 2541

ISBN 974-639-662-5

ลิขสิทธิ์ของบัณฑิตวิทยาลัย จุฬาลงกรณ์มหาวิทยาลัย

SELECTIVE RESOLUTION OF RACEMIC MENTHOL BY LIPASES
IN THE AQUEOUS/ORGANIC SOLVENT SYSTEM

Mr. Anontapat Kalapaphongse

A Thesis Submitted in Partial Fulfillment of the Requirements
for the Degree of Master of Engineering in Chemical Engineering

Department of Chemical Engineering

Graduate School

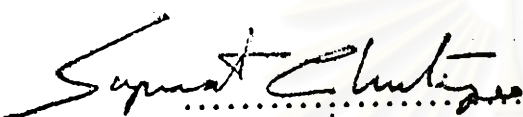
Chulalongkorn University

Academic year 1998

ISBN 974-639-662-5

Thesis Title Selective Resolution of Racemic Menthol by Lipases
 in the Aqueous/Organic Solvent System
By Mr. Anontapat Kalapaphongse
Department Chemical Engineering
Advisor Dr. Seeroong Prichanont

Accepted by the Graduate School, Chulalongkorn University in Partial Fulfillment of the Requirements for the Master's Degree.


..... Dean of Graduate School
(Professor Supawat Chutivongse, M.D.)

Thesis committee


..... Chairman
(Professor Wiwut Tanthapanichakoon, Ph.D.)


..... Thesis Advisor
(Seeroong Prichanont, Ph.D.)


..... Member
(Associate Professor Chirakarn Muangnapoh, Dr.Ing.)


..... Member
(Suyanee Nachaiyasit, Ph.D.)

ผู้เรียนที่ต้นฉบับงานคัดย่อวิทยานิพนธ์ภารกิจในกรอบสีเขียวทั้งแผ่นเดียว

รายงานที่พัฒนา กับปัจจุบัน : การเลือกทำปฏิกริยาเพื่อแยกสารเชิงมิโนทอลโดยไอลเพลสในระบบของตัวทำละลายน้ำ/ตัวทำละลายอินทรีย์ (SELECTIVE RESOLUTION OF RACEMIC MENTHOL BY LIPASES IN THE AQUEOUS/ORGANIC SOLVENT SYSTEM) อ.ที่ปรึกษา : อ.ดร.สุรัส บริราณห์, 107 หน้า, ISBN 974-639-662-5

งานวิจัยนี้เป็นการศึกษาการเลือกทำปฏิกริยาเพื่อแยกสารเชิงมิโนทอลโดยไอลเพลสในระบบของตัวทำละลายน้ำ/ตัวทำละลายอินทรีย์ โดยสามารถแบ่งการทดลองออกเป็น 2 ส่วนใหญ่ๆ คือ หนึ่ง การทดลองเพื่อเลือกองค์ประกอบของระบบที่เหมาะสมสำหรับการเกิดปฏิกริยาดังกล่าว โดยพบว่า เอนไซม์ไอลเพลสจาก *Candida cylindracea*, เยกซิคลาซิเตต, และไอโซออกเทน เป็นชนิดของเอนไซม์, ตัวให้หมู่อะชีล, และตัวทำละลายอินทรีย์ที่เหมาะสมต่อการเกิดปฏิกริยา นอกจากนี้ยังพบว่าการใช้ระบบตัวทำละลายอินทรีย์มีความเหมาะสมกว่าการใช้ระบบตัวทำละลายน้ำ/ตัวทำละลายอินทรีย์ เมื่อจากความยุ่งยากในการแยกผลิตภัณฑ์ยังเกิดจากอัมมูลขั้นที่เสถียรชั่งเกิดขึ้นในระบบขนาดหลัง และสอง การทดลองโดยอาศัยวิธีการออกแบบการทดลองเพื่อหาสภาวะที่เหมาะสมและจำนวนพลศาสตร์ สำหรับการเกิดปฏิกริยาที่งานเอกสารพิเศษของเรซิมิกเมนทอลและเยกซิคลาซิเตต โดยเอนไซม์ไอลเพลสจาก *Candida cylindracea* ในไอโซออกเทน จากการทดลองพบว่าสภาวะที่เหมาะสมสำหรับการเกิดปฏิกริยาคือ ความเข้มข้นของสารผุดมิโนทอลเท่ากับ 73 มิลลิเมตร ความเข้มข้นของเยกซิคลาซิเตตเท่ากับ 360 มิลลิเมตร อุณหภูมิเท่ากับ 66 องศาเซลเซียส และอัตราการกวนเท่ากับ 110 รอบต่อนาที มีค่าอนวยรัตน์ (conversion) ตุดท้ายเป็น 27.12 เปอร์เซ็นต์ เมื่อใช้เรซิมิกเมนทอลเป็นฐานการคำนวณ สำหรับการศึกษาทางด้านจำนวนพลศาสตร์ พบรากурсในการเกิดปฏิกริยาเป็นแบบ แรนดอม ไปในช่วงสามารถคำนวณค่าตัวแปรทางจำนวนพลศาสตร์ได้คือ $V_{max} = 100.28 \mu\text{mol/hr-g.enz}$, $\alpha K_A = 33.92 \text{ mM}$, $\alpha K_B = 8.42 \text{ mM}$, $K_A = 248.22 \text{ mM}$, $K_B = 60.92 \text{ mM}$, $K_i = 51.19 \text{ mM}$, และ $K_{i2} = 481.98 \text{ mM}$ และมีสมการอัตราการเกิดปฏิกริยาเป็นดังนี้

$$V = \frac{100.28[A][B]}{2066.4 + 8.42[A]\left(1 + \frac{[A]}{481.98}\right) + 33.92[B]\left(1 + \frac{[B]}{51.19}\right) + [A][B]} \mu\text{mol/hr-g.enz}$$

พิมพ์ด้วยเครื่องพิมพ์อิเล็กทรอนิกส์โดยวิชาชีพพิมพ์และออกแบบ.

C816951 : MAJOR CHEMICAL ENGINEERING DEPARTMENT

KEY WORD: RACEMIC MENTHOL / LIPASE / ORGANIC SYSTEM / EXPERIMENTAL

DESIGN

ANONTAPAT KALAPAPHONGSE : SELECTIVE RESOLUTION OF

RACEMIC MENTHOL BY LIPASES IN THE AQUEOUS/ORGANIC SOLVENT

SYSTEM. THESIS ADVISOR : DR. SEEROONG PRICHANONT, Ph.D., 107

pp., ISBN 974-639-662-5.

This project involved the resolution of menthol by lipase in an aqueous/organic system. The study was divided into two main experimental parts. First, experiments concerning selection of suitable system components for this specific reaction. It was found that *Candida cylindracea* lipase, hexyl acetate, and iso-octane were the suitable types of enzyme, acyl donor, and solvent for the reaction. Moreover, an organic system was discovered to be more suitable than an aqueous/organic system due to the more complex downstream separation process the latter system required owing to its stable emulsions formed. Second, experiments regarding the determination of optimum conditions and kinetics of the transesterification of racemic menthol and hexyl acetate by *Candida cylindracea* lipase in iso-octane using experimental designs. The optimum conditions found were racemic menthol concentration 73 mM, hexyl acetate concentration 360 mM, temperature 66 °C, and stirring speed 110 rpm. The final conversion were 27.12% calculated base on racemic menthol. The reaction was found to follow random bi bi mechanism which kinetic parameters were determined as $V_{max} = 100.28 \mu\text{mol/hr-g.enz}$, $\alpha K_A = 33.92 \text{ mM}$, $\alpha K_B = 8.42 \text{ mM}$, $K_A = 248.22 \text{ mM}$, $K_B = 60.92 \text{ mM}$, $K_{11} = 51.19 \text{ mM}$, and $K_{12} = 481.98 \text{ mM}$ and the rate equation can be expressed as

$$v = \frac{100.28[A][B]}{2066.4 + 8.42[A](1 + \frac{[A]}{481.98}) + 33.92[B](1 + \frac{[B]}{51.19}) + [A][B]} \mu\text{mol/hr-g.enz}$$

ภาควิชา วิศวกรรมเคมี

สาขาวิชา วิศวกรรมเคมี

ปีการศึกษา 2541

นายมีชื่อ นิธิ ตันตระวงศ์ กุญแจรัก

นายมีชื่อ อาจารย์ที่ปรึกษา ดร. ล.

นายมีชื่อ อาจารย์ที่ปรึกษาร่วม.

ACKNOWLEDGEMENTS



The author would like to express his deepest gratitude to Dr. Seeroong Prichanont, his advisor, for her continuous guidance, enormous number of invaluable discussion, helpful suggestions and warm encouragement. He wishes to give his gratitude to Professor Dr. Wiwut Tanthapanichakoon who serves as the chairman of the thesis committee. In addition, he is also grateful to Associate Professor Dr. Chirakarn Muangnapoh and Dr. Suyanee Nachaiyasit for serving as warm members whose comments are especially helpful.

Sincere thanks are made to Khun Sunee, technicians at the Scientific and Technological Research Equipment Center, Chulalongkorn University for their overwhelming help as analysis of the samples. In addition, the author would like to thank all members of Biochemical Engineering Laboratory for their collaborations.

Finally, the author would like to express his sincere thanks to his parents and everyone in his family for their unfailing understandings and affectionate encouragement.

CONTENTS

	Page
ABSTRACT IN THAI	iv
ABSTRACT IN ENGLISH	v
ACKNOWLEDGEMENT	vi
CONTENTS	vii
LIST OF TABLES	ix
LIST OF FIGURES	xi
 CHAPTER	
1 INTRODUCTION	1
1.1 Thesis objectives	3
1.2 Scopes of the project	4
2 LITERATURE SURVEY	5
2.1 Effects of type of lipases and acyl donors.....	6
2.2 Effects of reaction conditions.....	9
3 THEORY	13
3.1 Lipase in aqueous/organic two phase media	13
3.2 Lipase in nonaqueous media	14
3.3 Selection of a suitable organic solvent	18
3.4 Enzyme kinetics	23
3.5 The influences on enzyme activity.....	26
4 MATERIALS AND METHODS	28
4.1 Materials	28
4.2 Experimental equipments	28

CONTENTS (continued)

	Page
4.3 Experimental procedures	29
4.4 Determination of product concentrations.....	30
5 RESULTS AND DISCUSSION	31
5.1 Selection of suitable lipase and acyl donors for menthyl acetate Production	31
5.2 Selection of suitable organic solvent for menthyl acetate Production	37
5.3 Transesterification in aqueous-organic two phase system	41
5.4 Experimental design for the optimization of the system	47
5.5 Determination of kinetic parameters	58
6 CONCLUSION AND RECOMMENDATION	71
6.1 Conclusion	71
6.2 Recommendation	72
REFERENCES	73
APPENDICES	77
APPENDIX A	78
APPENDIX B	103
BIOGRAPHY	107

LIST OF TABLES

	Page
Table 2.1 Ester formation by transesterification reaction of isoamyl alcohol with two types of acyl donors	5
Table 2.2 Transesterification of terpene alcohol (geraniol and citronellol) with tributyrin	6
Table 2.3 Interesterification of (-)menthol with various acyl donors (triacylglycerol) after 20 hours	8
Table 3.1 Log P values of commonly used organic solvents. Log P values were calculated from hydrophobic fragmental constants according to Rekker (1979)	20
Table 5.1 Comparison of optimum temperatures obtained from various systems	55
Table 5.2 Comparison results between experiment and Lokotsch et al (1989)	57
Table A1 Experimental design planning.....	79
Table A2 Levels of experimental factors	80
Table A3 Experimental design planning, codified and uncodified levels for the central design (CCD)	81
Table A4 The initial rate of 2^4 factorial design experiments from table A1	82
Table A5 Yates's algorithm	83

LIST OF TABLES (continue)

	Page
Table A6 Main and interaction effects of (\pm)menthol concentration, hexyl acetate concentration, temperature, and stirring speed on the estimate value	85
Table A7 In order of effects and probability	86
Table A8 Comparison between initial rates from equation A.1 and experiments results	89
Table A9 The initial rate of central composite design of factorial design experiments	91
Table A10 Matrix from relation of four factors followed from Myers, 1979	94
Table A11 To replace a value from table A10	95
Table A12 Comparison between initial rates obtained experimentally and those calculated from the second order equation	97
Table A13 ANOVA analysis of second order equation for predicting initial rate values	99

LIST OF FIGURES

	Page
Figure 1.1 The reaction of racemic menthol using acyl donor as ethyl acetate	3
Figure 2.1 Effect of temperature on the activity of <i>Candida cylindracea</i>	9
Figure 2.2 Relative activity of esterification of (-)menthol and lauric acid	10
Figure 2.3 Relative activity of the esterification with ten kinds of organic solvents	11
Figure 3.1 A schematic model for lipase-catalyzed hydrolysis	13
Figure 3.2 Enzymes in organic solvents	15
Figure 3.3 The reaction of racemic menthol using acyl donor as phenylvaleric acid	16
Figure 3.4 Activity retentions of epoxidizing cells exposed to organic solvents versus log P	19
Figure 3.5 Schematic of rapid equilibrium random bi bi mechanism	24
Figure 3.6 Schematic of ordered bi bi mechanism	24
Figure 3.7 Schematic of ping pong bi bi mechanism	25
Figure 4.1 Drawing of the reactor	29
Figure 5.1 Comparison of types of lipases on methyl acetate production from three types of acyl donors	34
Figure 5.2 Time-course reaction of transesterification by lipase from <i>Candida cylindracea</i> with various acyl donors	35

LIST OF FIGURES (continue)

	Page
Figure 5.3 Comparison of final conversions (calculated based on (\pm)menthol obtained from the transesterification with various acyl donors using lipase from <i>Candida cylindracea</i> .	37
Figure 5.4 Comparison of types of organic solvents on menthol acetate production	39
Figure 5.5 Comparison of relative conversions between our Experimental results, and those of Goto et al, 1994 and Kamiya et al, 1995 of various organic solvents	40
Figure 5.6 The photographs of various aqueous-organic two phase systems	42
Figure 5.7 Demonstration of the characteristic of two phase system	43
Figure 5.8 Distribution of lipase among the two phases in various organic/buffer systems	44
Figure 5.9 Initial rates obtained from various of aqueous-organic two phase systems with various organic/buffer volume ratios	46
Figure 5.10 Steps in a heterogeneous catalytic reaction (Fogler, 1992)..	48
Figure 5.11 The relationship between initial rate and lipase concentration	49
Figure 5.12 The relationship between initial rate and stirring speed	50
Figure 5.13 Relationship of initial rate and racemic menthol concentration with temperature	52

LIST OF FIGURES (continue)

	Page
Figure 5.14 Relationship of initial rate and hexyl acetate concentration with temperature	54
Figure 5.15 The relationship of initial rate with menthol and hexyl acetate concentration	58
Figure 5.16 Double reciprocal plot of initial rate and menthol concentration at fixed any hexyl acetate concentrations	59
Figure 5.17 Double reciprocal plot of initial rate and menthol concentration	61
Figure 5.18 Plot of the intercept determined in figure 5.18 (a) and reciprocal of hexyl acetate concentration	62
Figure 5.19 Plot of the slope determined in figure 5.18 (a) and (b) and hexyl acetate concentration	64
Figure 5.20 Double reciprocal plot of initial rate and hexyl acetate concentration and menthol concentration	67
Figure 5.21 Plot of the slope determined in figure 5.21 (a) and (b) and menthol concentration	68
Figure A1 Plot of effects with probability from 2^4 factorial sets of the experiments	86
Figure A2 Plot of difference effects between the experiment of results and calculated results (from equation A.1 with probability paper).....	90